

バグ抽出難易度に関する尺度の適用性について

伊土 誠一 馬場 正和 林 孝樹
(日本電信電話公社 横須賀電気通信研究所)

1. はじめに

ソフトウェア品質を推定するいくつかの定量的な手法が提案されている。1つの方法は、テストが開始されて以来のバグ抽出履歴を観察することによってバグ数を予想する方法であり、代表例は、ソフトウェア信頼性の成長曲線を用いる方法である〔GOEL79, GOEL80〕。本方法では、テストの内容を成長曲線に反映することがむずかしいため予測精度が悪いという問題がある。もう1つの方法は、テスト工程期間の一部で、何らかの手法を用いてプログラムの品質を推定する方法であり、Capture-Recapture法(以降、C&R法と略す)がその代表例である〔SCH178〕。C&R法は、統計上の理論にもとづいており、次の点を前提としている。

(1) ある推定精度を保証するため、統計的に必要な数以上の埋込みバグが、プログラム中に挿入されていること。

(2) 埋込みバグと本来のバグとの間で抽出難易度に大きな差がないこと。

(1)は純粋な統計上の問題であり、埋込みバグ数により予測値の信頼度がきまる。(2)は重要な問題であるが、埋込みバグの選定に対するよい目安がまだないのが現状である。

本報告の目的の1つは、C&R法の推定精度をあげるために、埋込みバグの選定に対する尺度を提案することである。

また、ソフトウェア品質を早期に向上させるためには、各テスト工程(単体、結合、システムテスト)において発見すべきバグを次の工程に持ち越さないで確実に見つけることが重要である。しかし、抽出されたバグが発見された工程以前に抽出されるべきであったか否かを判定し、テストの着実性を評価する尺度はまだ提案されていない。

本報告のもう1つのねらいは、そのような尺度を提案することである。

以上に述べた、2つの目的を達成するために、バグ発見過程を解析し、バグ抽出難易度に関する尺度を導出した。

2. バグ発見過程

ソフトウェア中に潜在するバグをマシンにより抽出する場合は、何らかの手段(ドライバ、スタブを用いることもある)によりバグの潜んでいるエッジを通過させる必要がある。しかし、バグにはバグの潜在する部分を単に通過するだけで発生する単純なバグから、いくつかの条件が合わさって発生する複雑なバグがある。

バグ発見過程の議論に入る前に、“バグの発生”と“バグの顕在化”が違うことを明確しておく。バグの抽出にとって、バグ発生は必要条件ではあるが、それだけでは十分な条件ではない。バグを抽出するためには、さらにテスト者にバグが顕在化する必要がある。バグの発生時点と顕在化時点とは空間的、時間的にズレることがある。一般にこのズレが大きいとバグは発見しにくい。

以上述べたことにより、バグ抽出難易度を考察する場合、次の3つの要因を考慮する必要がある。

- (1) バグ潜在点を通過させる困難さ(到達難易度)
- (2) バグ発生条件の複雑さ(発生条件複雑度)
- (3) バグ発見のしにくさ(顕在化難易度)

3. 抽出難易度

3.1 到達難易度

到達難易度とは、プログラム中のバグ潜在点を通過させることの難しさを表す。プログラムは一般に図1に示すように3つの基本制御構造(連続、判断分岐、繰返し)の組合せからなっている。ここでは、それぞれの構造を到達難易度の観点から考察する。

<連続構造>

連続構造は連続なステートメントの集合であり、同一エッジである。よってバグ潜在点を通過する確率は、バグが図1(a)に示すXあるいはY点のどちらに潜んで

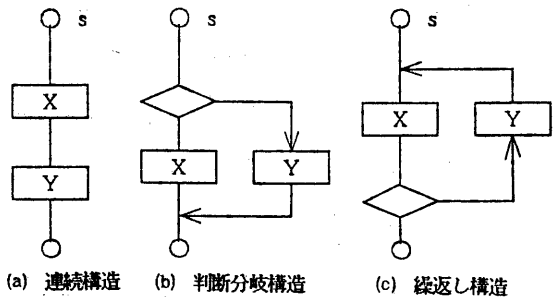


図1 基本的制御構造

いようと、エッジの開始地点Sを通過する確率に等しい。即ち $P(\alpha) = P(S)$ となり連続構造の場合X、Yとも到達難易度は同じである。ここで $P(\alpha)$ は、バグ潜在点 α を通過する確率、 $P(S)$ は、エッジの開始地点を通過する確率である。

<判断分岐構造>

図1の(b)の場合、XあるいはYを通過する確率はXとYの各々のエッジの機能分担に依存する。つまり、各々のエッジがメインルートかそうでないかによって通過確率は異なってくる。また、この確率はテスト内容によっても変化する。即ち、単体テストの段階では、テストの主要な目的の一つは、全パスあるいは全エッジを実行させることである。従って、この様な場合XあるいはYの通過確率が各々のエッジの機能とはあまり関係しないことになる。

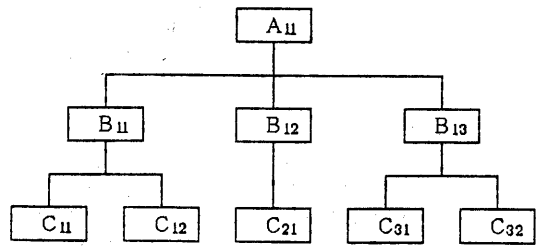


図2 プログラムモジュール例

<繰返し構造>

図1(c)のケースにおいて、プログラムを実行することにより、エッジの開始地点Sを通過するならば、明らかにXの通過確率は1であり、Yの通過確率は分岐条件に依存する。XとYとの関連が強ければ、Yの通過確率は1に近く、弱ければ0に近くなる。

この概念は、図2に示す構造化プログラムを用いることによって説明できる。すなわち、モジュール A_{11} 中の α 点を通過する確率 $P_{a11}(\alpha)$ は以下のように表現できる。

$$P_{a11}(\alpha) = P_{a11}(S) * P_{a11}(A_\alpha)$$

$P_{a11}(S)$: モジュール A_{11} の開始地点の通過確率

$P_{a11}(A_\alpha)$: α 点の通過確率 (前提: α 点の属しているモジュール A_{11} の開始地点を通過する確率が1)

モジュール B_{11} の開始地点の通過確率 $P_{b11}(S)$ は、モジュール A_{11} がモジュール B_{11} をコールする地点の通過確率に依存する。

$$P_{b11}(S) = P_{a11}(S) * P_{a11}(L_{b11})$$

L_{b11} : モジュール A_{11} がモジュール B_{11} をコールする地点

$P_{a11}(L_{b11})$: モジュール A_{11} がモジュール B_{11} をコールする地点の通過確率

従ってモジュール B_{11} 中の α 点を通過する確率 $P_{b11}(\alpha)$ は次のようになる。

$$\begin{aligned} P_{b11}(\alpha) &= P_{b11}(S) * P_{b11}(B_\alpha) \\ &= P_{a11}(S) * P_{a11}(L_{b11}) * P_{b11}(B_\alpha) \end{aligned}$$

同様な方法でモジュール C_{11} 中の α 点を通過する確率 $P_{c11}(\alpha)$ は以下のように表現できる。

$$\begin{aligned} P_{c11}(\alpha) &= P_{c11}(S) * P_{c11}(C_\alpha) \\ &= P_{b11}(S) * P_{b11}(L_{c11}) * P_{c11}(C_\alpha) \\ &= P_{a11}(S) * P_{a11}(L_{b11}) * P_{b11}(L_{c11}) * P_{c11}(C_\alpha) \end{aligned}$$

3.2 発生条件複雑度

大規模プログラムのテストは、一般に単体、結合、システムテストの順におこなわれる。そのため、発見されるバグもテスト工程が進むに従って単にバグの存在するエッジを通過しただけでバグが発生する簡単なレベルのものから、色々な条件が組合わされないと発生しない複雑なレベルのものへと変化していく。

この節ではバグの発生条件について述べる。テスト工程の各段階の目的を考慮することによって、表1に示すようにバグの発生条件複雑度をレベル1からレベル4まで定義することができる。

レベル1は、バグの潜在点を通過するだけでバグが発生するケースである。問題は、バグ潜在点を通過させる困難さであるがそれに関しては前節で述べている。レベル1のバグは単体テストで完全に発見できる。

レベル2は、バグの潜在点を通過するだけではバグが発生しないケースである。いくつかの特殊な条件、例えば特殊な変数値、あるいは通過するエッジの特定の組合わり方等によって発生するケースである。

レベル2は、レベル3、4と違って発生条件が1モジュールに閉じていてかつ時間要因とも独立であるケースである。レベル2のバグを発見するためにテスト者はパス、変数とそれらの領域について考慮してテストケースを抽出する必要がある。したがって、全てのテストケースを網羅することは困難である。この種のバグの大部分は単体テストで発見できる。

レベル3は、複数のモジュールに渡ったエッジ、あるいは変数の組合わり方によってバグが発生するケースである。本レベルとレベル4との違いは、発生条件が時間要因と独立であることである。レベル3のバグは主として結合試験で発見される。

レベル4は、レベル3の発生条件に時間要因が加わったものであり、ガーベジバグがこれに属する。この種のバグは適切な発生条件を作成することが非常に困難であり、バグの発見が遅れることが多い。場合によっては、保守工程まで残ることがある。

3.3 顕在化難易度

プログラムが走行し、バグが発生してもその時点で必ずしもテスト者にバグとして顕在化せず、バグが発生した所と別の部分が走行してはじめて顕在化するケースがある。バグが発生してから顕在化する困難さを顕在化難易度と定義する。顕在化難易度は、バグ発生点と顕在化点の空間的、時間的差に着目する必要がある。

<空間的観点>

バグが発生してから顕在化する所を通過する確率を顕在化確率と呼ぶこととする。顕在化難易度は、この顕在化確率に反比例する。これを図3を用いて説明する。(a)と(b)の顕在化確率は1であるが(c)の確率は1より小さい。よって、発生点と顕在化点との間の分岐数が多いほど顕在化確率は小さくなる。すなわち、バグの顕在化確率 $P_{ac}(\delta)$ は以下のように表わせる。

表1 発生条件複雑度のレベル

	バグ発生条件	考慮要因
レベル1	バグの潜在点を通過するだけで発生	E
レベル2	バグの潜在点を通過し、かつ1モジュールに閉じていくつかの特殊な条件が重なって発生	+Pi, Vi, Di
レベル3	バグの潜在点を通過し、かつ複数モジュールに渡っていくつかの特殊な条件が重なって発生	+Pj, Vj, Dj
レベル4	レベル3の発生条件に時間要因が加わって発生	+T

E : エッジ数
Pi : モジュール内のパス数
Vi : モジュール内の変数
Di : Vi の変域
Pj : プログラム中のパス数
Vj : プログラム中の変数
Dj : Vj の変域
T : 時間

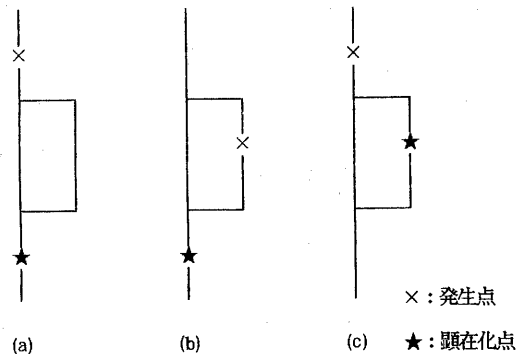


図3 顕在化確率の違い

$$P_{ac}(\delta) = P(b_1) * P(b_2) * \dots * P(b_n)$$

$P(b_i)$: 分枝 i におけるバグ δ の潜在しているエッジ側への分枝確率

n : 発生点と顕在化点との間にある(但し、発生点と顕在化点との間に対応する結合点のある分枝は除く)分枝点の数

但し、該当する分枝点のない場合の $P_{ac}(\delta)$ は 1 である。

実際には顕在化確率の計算は面倒であるので、表 2 に示す様なテスト工程を考慮した簡単な尺度を用いるのが現実的である。

表 2 顕在化難易度のレベル

レベル1	発生点と顕在化点は同一エッジか同一モジュールにある。 但し、 $P_{ac} = 1$	↑
レベル2	発生点と顕在化点は同一モジュールにある。 但し、 $0 < P_{ac} < 1$: 単体テスト $P_{ac} = 0$: その他のテスト	
レベル3	発生点と顕在化点は別モジュールにある。 但し、 $0 < P_{ac} < 1$	↓
レベル4	発生点と顕在化点は時間要因に依存する。	
		難易

<時間的観点>

バグの発生点から顕在化点までの経過時間が長いほどバグ発見が困難である。特に、一回のテスト時間で発見できないようなバグを発見することは非常に困難である。ガーベジバグがこの範疇に属する。この種のバグの発見は、顕在化難易度が時間に相関しないバグの発見よりも困難であり、テスト工程の早期にこの種類のバグを発見するためにはメモリ、ファイルの内容をダンプし、ガーベジの存在をチェックしなければならない。

4. 実験例と考察

本実験対象プログラムは、OSの一部であり5章で述べるPU(Product Unit)の1つにあたる。このPUは、17モジュール、1000 lineからなり、モジュールのCyclomatic Number [McCA76]の平均値は6.9である。テストは、コーディング後の机上デバグ、単体、結合、システムテストの順に進めた。その結果、机上デバグで10個のバグを、マシンによるテストで15個のバグを発見した。実験結果を図4に示す。

到達難易度を求める際、バグ潜在点の通過確率を算定することが困難なため、分枝後のエッジの通過確率は分枝前の半分になる、と仮定した。

(1) 到達難易度

マシンテストによって発見されるバグの到達難易度 A_{mh} は、テスト工程間で差がないことが図4(a)よりわかる。到達難易度のスケールを1、1/2、1/4、1/8、1/16から、1、2、3、4、5に変換すると A_{mh} はほぼ変換後の到達難易度 A_{pr} の平均値を中心とした正規分布となる。

プログラムの平均到達難易度 A_{pr} の平均値は次のように表わされる。

$$A_{pr} = \frac{\sum_{i=1}^m A_i S_i}{\sum_{i=1}^m S_i}$$

- A_i : エッジ i の到達難易度
- S_i : エッジ i のステップ数
- m : プログラム中のエッジ数

また、机上デバッグで発見したバグの平均到達難易度 A_{dk} も、 A_{pr} 、 A_{mh} と大きな差のないことがわかる。

(2) 発生条件複雑度

図4 (b) より明らかなように、発生条件複雑度は、テスト工程の各段階のそれぞれの特徴を的確にあらわしうる。つまり、単体テストと結合テストの前半の段階では、簡単なバグが発見され、結合テストの後半とシステムテストの段階で複雑なバグが発見される。

(3) 顕在化難易度

図4 (c) で示すように、テスト工程の早期は右上りの勾配になり、途中で右下がりの勾配（顕在化が容易）になる。この現象は一見奇異に見えるが発生条件複雑度と顕在化難易度の関係を見ると理解できる。すなわち試験当初の単体テスト中は、モジュール内に閉じるバグの抽出により顕在化難易度は徐々に高くなるが、その後の結合テストの初期には単純なモジュール間インタフェースのミスによる顕在化しやすいバグが、抽出されるためである。

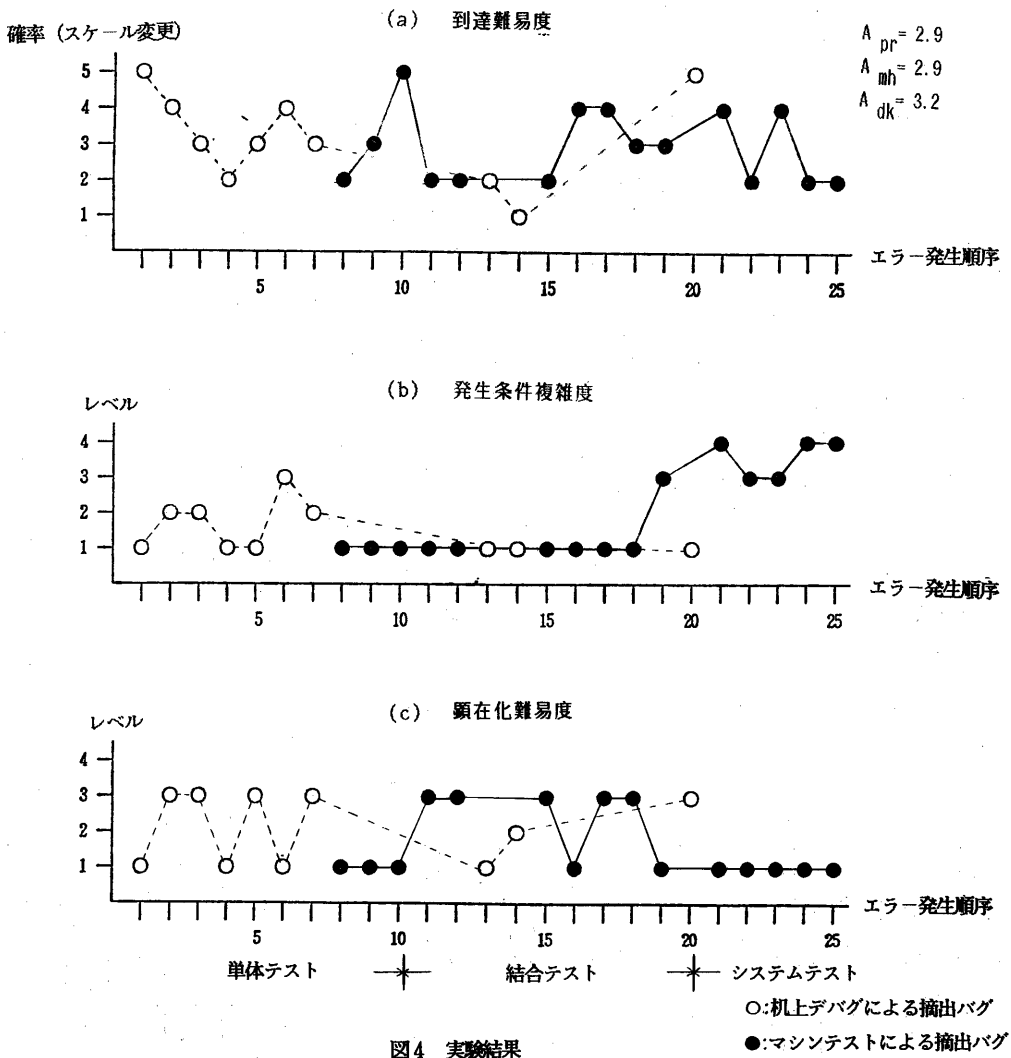


図4 実験結果

(4) 発生条件複雑度と顕在化難易度の関係

発生条件複雑度と顕在化難易度の関係を図5に示す。マシン抽出バグは、テスト工程が進むにつれてA、B、C、Dの順に遷移していく。テストが順調に行われるならば、発見バグは決してA、B、Dとは遷移せず、BとDの間には必ずCのステータスがあることに注目すべきである。また、机上デバグによって発見したバグは、マシンによるテストによって発見したバグのような特性は示さないこともわかる。

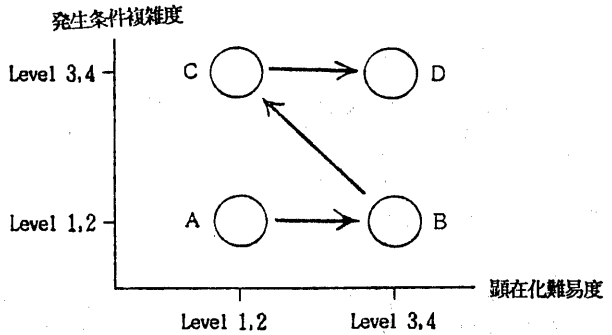


図5 発生条件複雑度と顕在化難易度の相関

5. 適用性

本章では、実験結果をもとにC&R法における埋込みバグの選定に対する尺度、およびテスト工程の妥当性に関する尺度について考察する。

< C&R法における埋込みバグの選定尺度 >

Millsが1972年にC&R法のソフトウェア品質管理への適用を提案[MILL72]して以来、この方法は統計面[TAUS77]、信頼度面[DURA81]、予測数の補正[OHBA82]の観点等から研究されてきた。しかし、本格的にソフトウェアの品質管理に適用するには、まだ多くの解決すべき事項が残っている。本方法における、最重要問題は埋込みバグの選定法の確立である。そのためには、埋込みバグの分布に

- ① 図6(a)に示すような機能的な偏り、
- ② 図6(b)に示すようなバグ抽出難易度の観点からの偏り、

をなくし、潜在バグ数の予測精度を上げるような埋込みバグ選定のための指標を確立しなければならない。

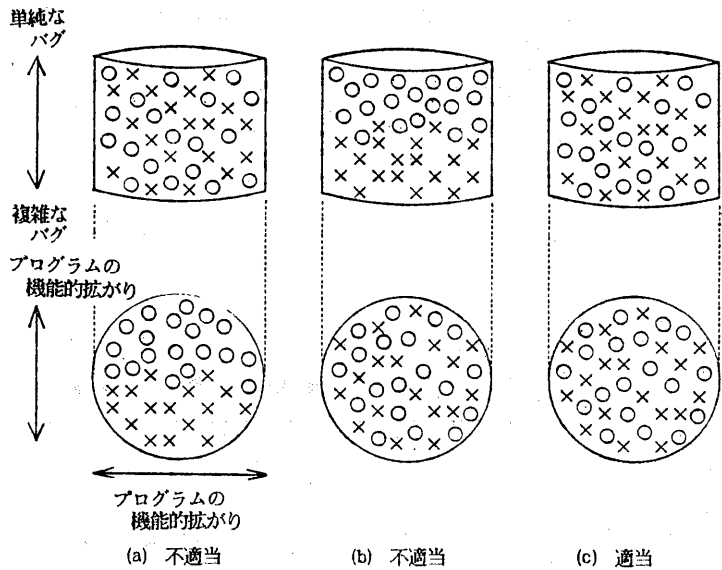


図6 埋込みバグ選定の基準

○: 埋込みバグ
×: 実バグ

①に関しては、プログラムを同様な属性(作成言語・機能・開発期間等)をもつグループに分割するPUという概念(図7を参照)を提案し、良好な実験結果も得ている。[IDO81]

②に関しては、実バグと埋込みバグとの間で発生条件複雑度と顕在化難易度に関して有意差がないように、埋込みバグを選定することである。

- そのためには次の点に注意を払う必要がある。
- I) C&R法の適用時期
- II) C&R法を適用するプログラムの特徴
- III) C&R法適用までに実施したテストの着実度

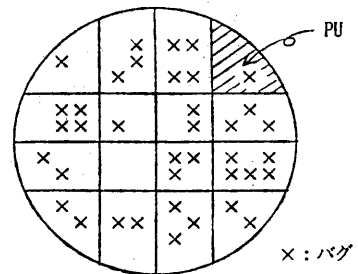


図7 Production Unit (PU)

<テスト実施の着実度評価>

ソフトウェアの品質をできるだけ早く向上させるためには、バグを発見すべきテスト工程で確実に見つけて行くことが重要である。ここではその評価尺度を提案する。この尺度はDDTD (error Detection Difficulty Transition Distance) と呼び、以下のように定義する。

“DDTDは隣接した期間の2つの発見バグの間の遷移距離の平均”であり。

$$DDTD = \frac{\sum_{i=1}^{m-1} D_{i,i+1}}{m-1}$$

ここで $D_{i,i+1}$: i 番目に発見されたバグと $i+1$ 番目に発見されたバグの間の遷移距離
 (遷移距離は図8により計算できその遷移距離マトリックスは表3の様に表わせる。図8は、図5のA、B、C、D間の遷移距離のダイヤグラムである。)
 i : i 番目の発見バグ
 m : 評価期間中に発見された全バグ数

と表わせる。

DDTDの値が小さいほど、テストは抜けなく着実に実施されていると判断できる。逆にDDTDの値が大きいほど各工程でのテスト漏れの恐れがあり、バグが抽出しきれていない可能性が大きい。

4章に示した実験では、マシンテストによって発見したバグのDDTDは0.35であり、机上デバグによって発見されるバグのDDTDは1.00であった。我々の他の実験結果も考え合せると、着実なマシンデバグにおけるDDTDは0.5以下であると言える。

6. 結論

本報告で提案した2つの尺度を、いくつかのプログラムに適用した結果以下のことがいえる。

すなわち、バグ抽出難易度尺度はC&R法の埋込みバグの選定に有効である。

バグ抽出難易遷移距離DDTDは各工程でのテストの着実性を評価するのに役立つ。

これらの尺度の問題点は計算がむずかしいことであるが、以下の手順に従うことによって容易に導出できる。

- (1) 分岐毎に分岐確率を計算するのは困難であるので、分岐確率を50%と仮定する。そうすれば、到達難易度はコンパイルリストやフローチャートを用いて容易に求められる。
- (2) 発生条件複雑度と顕在化難易度も3章(表1、表2)に示す様な尺度を設ければ発見バグの分類が容易にできる。
- (3) DDTDも、これらの発生条件複雑度や顕在化難易度の尺度を用いることによって容易に計算できる。

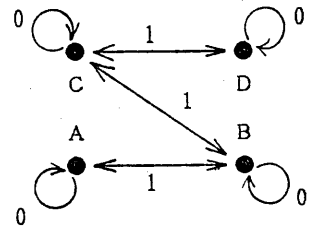


図8 遷移距離ダイヤグラム

表3 遷移距離マトリックス

$i+1$ 番目のバグの属すグループ

	A	B	C	D
A	0	1	2	3
B	1	0	1	2
C	2	1	0	1
D	3	2	1	0

i 番目のバグの属すグループ

[文献]

- [DURA81] J.W.DURAN.: 'Capture-Recapture Sample for Estimating Software Error Content.'
IEEE Trans. SE, Vol. SE-7, NO.1, Jan. 1981, pp 147-148
- [GOEL79] A.L.GOEL and K.OKUMOTO.: 'Time-dependent Error-Detection Rate Model for Software
Reliability and Other Performance Measure.', Vol. R-28, 1979, pp 206-211
- [GOEL80] A.L.GOEL.: 'Software Error Detection Model with Applications.' J. Systems & Software,
Vol.1, 1980, pp 243-249
- [IDO81] S.IDO and N.MURATA.: 'Estimating Hidden Bugs using the Capture & Recapture Method
and its Application.' (in Japanese), IPS-J proc. WGSC Meeting, Vol.19, 1981, pp 1-10
- [MILL72] H.D.MILLS.: 'On the Statistical Validation of Computer Programs' IBM FDS Rep., 1972
- [MCCA76] T.J.McCABE.: 'A Complexity Measure.' IEEE Trans. SE, Vol. SE-2, No. 4, Dec. 1976
- [OHBA82] M.OHBA.: 'Software Quality=Test Accuracy \times Test Coverage.' 6th ICSE, Sep. 1982
- [SCHI78] G.J.SCHICK and R.W.WOLVERTON.: 'An Analysis of Computing Software Reliability Models.
IEEE Trans. SE, Vol. SE-4, No. 2, MAR. 1978, pp 104-120
- [TAUS77] R.C.TAUSWORTHE.: 'Standardized Development of Computer Software.' Prentice-Hall,
Englewood Cliffs, N. J., 1977